

스티쇼바이트에 고용하는 알루미늄과 수소와의 관계

정정인¹, 카기 히로유키²

¹공주대학교 과학교육연구소 (chungji@kongju.ac.kr), ²동경대학교 지각실험연구실

1. 서론

SiO_2 의 고압 동질이상체 (high-pressure polymorph)인 스티쇼바이트 (stishovite)는 10 GPa 이상의 압력에서 안정한 맨틀의 광물이다. 그 결정구조는 Si^{4+} 이온에 대하여 O^{2-} 이온이 6배위의 루틸(rutile)형 구조를 하고 있다. 천연의 eclogitic rutile에는 0.7~0.8 wt.%의 H_2O 가 함유되며, OH^- 이온은 3가 이온과의 차지밸런스에 의해 결정구조 안에 결합된다고 알려져 있다 [Rossman and Smyth, 1990]. 루틸과 동질 구조를 갖는 스티쇼바이트도 같은 메커니즘으로 OH^- 이온을 함유할 가능성이 높다. Pawley et al. (1993)는 $\text{Al}_2\text{O}_3-\text{SiO}_2-\text{H}_2\text{O}$ 의 단순계에서 스티쇼바이트를 고온·고압에서 합성하여 분석한 결과, Al_2O_3 가 1.5 wt.% 고용하면, Al 을 고용하지 않는 경우보다 10배의 H_2O 를 함유한다고 보고하였다. 온도증가에 따라 스티쇼바이트에 고용되는 Al_2O_3 양도 증가하는 경향이 있으므로[Ono, 1999], 그것에 따른 H_2O 함량도 증가할 수 있는 가능성이 기대된다. 본 연구에서는 천연계 물질에서 스티쇼바이트를 합성하여, 온도, 압력, Al 을 포함한 다른 성분들이 스티쇼바이트의 H_2O 함량에 미치는 영향을 조사하였다.

2. 실험

출발물질은 피스톤 실린더형 고압장치를 이용하여, 용융(1 GPa, 1200~1300°C) 급랭하여 H_2O 가 첨가된 현무암의 함수 유리질의 분말을 준비하였다. 이 함수 유리질 성분은 FTIR 측정을 하여 H_2O 에 포화 (~10 wt.% H_2O) 된 상태임을 확인하였다. 스티쇼바이트는 MA-8형 고압발생장치 (ERI 2000)로 합성하였다. 조성분석과 수소농도 측정은 grain-by-grain basis로 결정하였으며, 각각 EPMA, micro FTIR spectrophotometer (Spectrum 2000, Perkin Elmer Co Ltd)로 측정하였다. 스티쇼바이트의 함수량은 Paterson (1982) 측정의 흡수밴드(absorption band)를 적분하여 계산하였다.

$$C_{\text{OH}} = \frac{Xi}{150\zeta} \int \frac{K(v)}{(3780-v)} dv \quad (1)$$

이 식에서 C_{OH} 는 OH 의 함량 ($\text{H}/10^6 \text{ Si}$), ζ 는 orientation factor, $K(v)$ 는 파장 v 일 경우의 absorption coefficient (cm^{-1}), 그리고 Xi 는 density factor (스티쇼바이트의 경우 1.4104 $\text{H}/10^6 \text{ Si}$).

3. 결과 및 고찰

고압실험은 압력 10~15 GPa, 온도는 1000~1500°C의 여러 조건에서 행하여졌지만, IR 측정에 사용할 수 있는 스티쇼바이트의 적절한 크기를 얻을 수 있는 run products는 2개(HB 13-11: 10 GPa, 1200°C and HB 13-5: 15 GPa, 1400°C)였다. run products를 구성하는 광물은 garnet, pyroxene, stishovite, 그리고 liquid phase (H_2O -rich phase)이다. 함수광물은 발견되지 않았다.

Figure 1은 상온에서의 편광 흡수 스펙트럼이다. 스티쇼바이트의 OH 신축 진동영역의

적외흡수 스펙트럼에서는 3111 cm^{-1} 부근에서 피크가 관찰되었다. 편광스펙트럼의 결과는 OH^- 이온이 스티쇼바이트 결정의 c축과 수직방향으로 배향하고 있는 것을 보여준다. HB13-11에서 6개, HB 13-5에서 8 개의 스티쇼바이트 결정의 수소함량이 결정되었다. 각 결정의 수소함량은 불균일하며, 최대치는 $5628 \pm 291\text{ H per }10^6\text{ Si}$ ($844 \pm 44\text{ ppm H}_2\text{O}$)이다. HB 13-11의 평균함량은 $2128 \pm 536\text{ H per }10^6\text{ Si}$ ($319 \pm 80\text{ ppm H}_2\text{O}$)이며, HB 13-5 의 평균함량은 $4629 \pm 595\text{ H per }10^6\text{ Si}$ ($694 \pm 89\text{ ppm}$)이다. 본 연구에서 얻어진 수소함량은 단순계보다 3배 이상의 높은 치를 나타낸다.

스티쇼바이트의 charge-balance mechanism은 조성분석의 결과 단순계에서 제기되었던 $\text{Al}^{3+} \leftrightarrow \text{Si}^{4+} + \text{Ov}$ (a vacancy on an oxygen site)와 $\text{Si}^{4+} \leftrightarrow \text{Al}^{3+} + \text{H}^+$ 만으로는 설명하기 힘들다는 것이 밝혀졌다. $\text{M}^{3+} + \text{H}^+ \leftrightarrow \text{Si}^{4+}$ 와 $\text{M}^{3+} + \text{M}^+ \leftrightarrow \text{Si}^{4+}$ 그리고 $\text{M}^{2+} + 2\text{M}^{5+} \leftrightarrow 3\text{Si}^{4+}$ 와 $\text{M}^{3+} + \text{M}^{5+} \leftrightarrow 2\text{Si}^{4+}$ 의 치환이 필요하다. 이러한 메카니즘은 온도, 압력, 그리고 공존광물에 의해서 영향을 받는다.

본 연구의 결과는 스티쇼바이트가 섭입대나 하부맨틀에서 중요한 함수상 (water-containing phase)이 될 수 있다는 것을 지지한다.

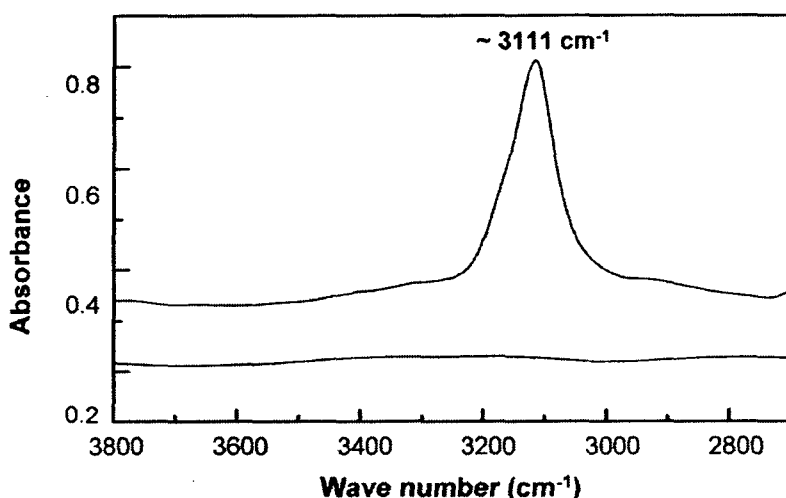


Figure 1. Polarized IR spectra of a single crystal of stishovite. The upper spectrum and the lower spectrum were obtained with incident IR light whose electric vector was perpendicular and parallel to the c axis, respectively.

4. 참고문헌

- Chung, J. I. and H. Kagi, High concentration of water in stishovite in the MORB system, Geophys. Res. Lett. 29(21), 2020, doi:10.1029/2002GL015579, 2002
 Ono, S., High temperature stability limit of phase egg, $\text{AlSiO}_3(\text{OH})$, Contrib. Mineral. Petrol., 137, 83–89, 19
 Paterson, M. S., The determination of hydroxyl by infrared absorption quartz silicate glasses and similar materials, Bull. Mineral., 105, 20–29, 1982
 Pawley, A. R., P. F. McMillan, and J. R. Holloway., Hydrogen in stishovite, with

implications for mantle water content, Science, 261, 1024–1026, 1993
Rossman G. R., Studies of OH in nominally anhydrous minerals, Phys. Chem. Minerals
23, 299–304, 1996